

10, Halbleiter (mit Skript bei S. 111)

LIB: Leitungsband
VB: Valenzband

10.2 Konzentration der Ladungsträger

Elektron Zustandsdichte $N(T) = \frac{1}{4} \left(\frac{2m_L^* kT}{\pi \hbar^2} \right)^{3/2}$ (Elektron)
entsprechend $p(T)$ mit m_V^* statt m_L^* (Loch)

Produkt der Ladungsträgerdichten

$$n \cdot p = N \cdot P \cdot \exp\left[-\frac{E_L - E_V}{kT}\right] = N \cdot P \cdot \exp\left[-\frac{E_g}{kT}\right]$$

- Chem. Potential μ kommt hier nicht mehr vor
 - gilt auch für dotierte Halbleiter
 - „Massenwirkungsgesetz“
 - Es folgt man n oder p , rechnet p oder n :
- $n \cdot p = \text{const}$ bei $T = \text{const}$.

Intrinseker Halbleiter: das heißt kein Beitrag zu n oder p durch Verunreinigung

$$n(T) = p(T) = n_i(T) = (n \cdot p)^{1/2}$$

$$n_i(T) = \frac{1}{4} \left(\frac{2kT}{\pi \hbar^2} \right) (m_L^* m_V^*)^{3/4} \exp\left[-\frac{E_g}{2kT}\right]$$

intrinsic Ladungsträgerdichte $n_i(T)$

Beispiele
(bei 300K)

| Metall | n_i [$\frac{1}{cm^3}$] |
|--------|----------------------------|
| Si | $1,5 \cdot 10^{10}$ |
| Ge | $2,4 \cdot 10^{13}$ |
| GaAs | $5 \cdot 10^7$ |

$$\text{Aus } \frac{n}{p} = 1 \Rightarrow$$

$$\mu_i = E_V + \frac{E_g}{2} + \frac{3}{4} kT \ln\left(\frac{m_V^*}{m_L^*}\right)$$

• Bedingung Nichtentartung erfüllt für $kT \ll E_g$

10.3 Dotierte Halbleiter

Aufbau von elektrisch aktiven Störstellen: „Dotierung“

Donator: liefert zusätzl. Elektronen ins LB, höheres Valenz als Wirtsmetall

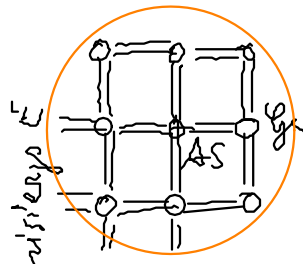
Akzeptor: liefert zusätzl. Löcher ins VB, niedrigeres Valenz als Wirtsmetall

Beispiel: HL aus IV Gruppe Substituiert ein

Atom der V. Gruppe (Donator) oder der III Gruppe (Akzeptor)

| | | |
|----|----|----|
| Si | P | B |
| Ge | As | Ga |

Modell



Donat: pos. geladener Ion mit zusätzl. El. El. E_h.

statisch verteilt
 Bohr radius des zusätzlichen Elektrons
Bindungsenergie des zusätzl. E an das Ion

ist wesentlich kleiner als die Ionisierungsenergie des freien Ions

Dotierung
 Bindungsenergie
 Ionisierungsenergie

As: $E_g = 0,013 \text{ eV}$, $E_i = 9,81 \text{ eV}$

Gründe:

- ① statische DL ϵ reduziert Coulomb-WW: $E_g: \epsilon = 15,8, 51: \epsilon = 11,7$
- ② Elektron nahe LB-Unterkante, daher nahe VB-Oberkante: $m_{LN}^* < m$
 \Rightarrow Wasserstoffproblem mit $\frac{e^2}{r} \rightarrow \frac{e^2}{\epsilon r}$, $m \rightarrow m^*$
- Radius der 1. Bohrschen Bahn: $a_0^{\#} = \frac{4\pi\epsilon_0 \hbar^2}{m e^2} \rightarrow a_0 = \frac{m}{m^*} \epsilon a_0^{\#} \gg a_0^{\#}$
- Bindungsenergie im Grundzustand $E_0^{\#} = \frac{m e^4}{2(4\pi\epsilon_0)^2} = 13,6 \text{ eV} \rightarrow E_0 = \frac{m^*}{m} \frac{1}{\epsilon^2} E_0^{\#}$

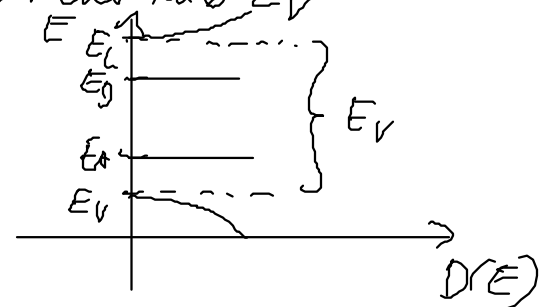
| | $a_0 [\text{\AA}]$ | $E_0 [\text{eV}]$ | $(E_L - E_D) P$ | As | Sb [meV] |
|----|--------------------|-------------------|-----------------|------|----------|
| Si | 19 | 0,023 | 45 | 49 | 39 |
| Ge | 38 | 0,012 | 12 | 12,7 | 9,6 |

• Bindungsenergie $(E_L - E_D) \ll E_g$ (relativ zu LB-Unterkante gesehen)
 d.h. zusätzliche Energien unterhalb E_D nicht unterhalb E_L

• Analog Akzeptoratom: z.B. Ga in Ge

\Rightarrow zusätzliche Elektronen, Niveaus E_A nicht oberhalb E_V

| | $(E_A - E_V)$ | B | Al | Ga [meV] |
|----|---------------|------|------|----------|
| Si | | 43 | 57 | 65 |
| Ge | | 10,4 | 10,2 | 10,8 |



• $D(E)$ für Störstellenzustände S-Fkt mit \dagger

$\int D(E) f(E) dE =$ Anzahl der Zustände der Donatoren N_D bzw. Akzeptoren N_A

wichtige Konsequenz:

- thermische Anregung von El aus E_D ins LB wesentlich "leichter", als El aus VB ins LB
 El aus VB ins E_A , d.h. Loch in VB

10.4 Ladungsträgerdichte in dotierten Halbleitern

$n_D = \langle n \rangle \cdot N_D$ mittlerer Besetzungszustand $\langle n \rangle$, $\langle p \rangle$ einer Störstelle

$p_A = \langle p \rangle \cdot N_A$

Donatorionisierungs: Besetzungsmöglichkeiten

- umgekehrt
- 1 Elektron ↑ oder ↓
- Doppelbesetzung unterdrückt, wegen Coulombabst. an Störstelle

$$\Rightarrow n_D = \frac{N_D}{\frac{1}{2} \exp\left[\frac{(E_D - \mu)}{kT} + 1\right]} \quad \text{(Faktor } \frac{1}{2} \text{ wegen Unterdrückung der Doppelbes.)}$$

$$n_A = \frac{N_A}{\frac{1}{2} \exp\left[\frac{(\mu - E_A)}{kT} + 1\right]}$$

Neutralitätsbedingung

$$p + (N_D - n_D) = n + (N_A - p_A)$$

Lücken im VB geladene Donatoren Elektronen im LB geladene Akzeptorstellen

• Fermi aus und aus $n, p, n_D, p_A \Rightarrow \mu(T)$

qualitativ für n-HL

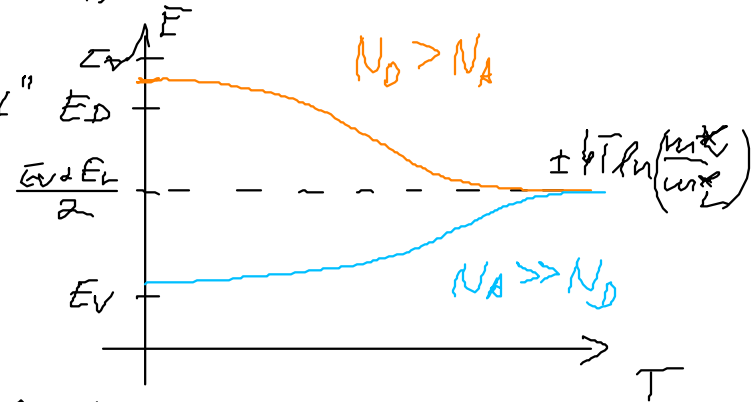
• $T < 0$: $n_D = N_D \Rightarrow E_D - \mu < 0, \mu > E_D$

LB ist leer $\Rightarrow \mu < E_L$

• $T \gg \frac{E_L - E_D}{2}$: Donatoren „erschöpft“

Elektronen im LB stammen

hauptsächlich aus VB



• $\Delta n = n - p \neq 0$ aber $n \cdot p = n_i^2$

$n = \Delta n + p = \Delta n + \frac{n_i^2}{n}$ entsprechend für p

$$\frac{n_i^2}{p} = \frac{1}{2} ((\Delta n)^2 + 4n_i^2)^{\frac{1}{2}} \pm \Delta n$$

$$\frac{n}{n_i} = \exp\left[\frac{(\mu - \mu_i)}{kT}\right], \quad \frac{p}{p_i} = \exp\left[-\frac{(\mu - \mu_i)}{kT}\right]$$

$$\frac{\Delta n}{n_i} = 2 \sinh\left(\frac{\mu - \mu_i}{kT}\right)$$

• $E_D - \mu \gg kT, \mu - E_A \gg kT$: μ zwischen E_D und E_A

Donatoren und Akzeptoren fast vollständig ionisiert

$$n_D \ll N_D, p_A \ll N_A$$

(a) intrinsischer Bereich $n_i \gg |N_D - N_A|$

$$\frac{n}{p} \approx n_i \approx \frac{1}{2} (N_D - N_A)$$

(b) extrinsischer Bereich $n_i \ll |N_D - N_A|$

$$N_D > N_A : n \approx N_D - N_A \quad p \approx \frac{n_i^2}{N_D - N_A} \quad (n\text{-HL})$$

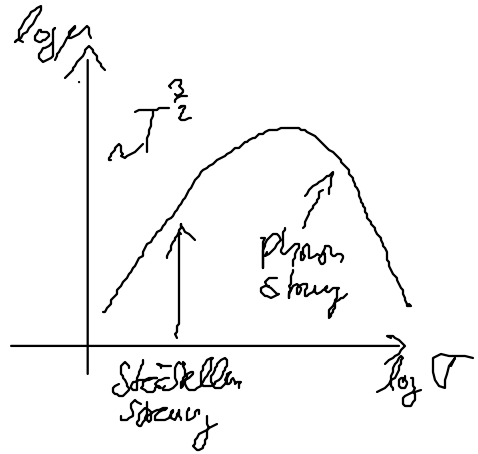
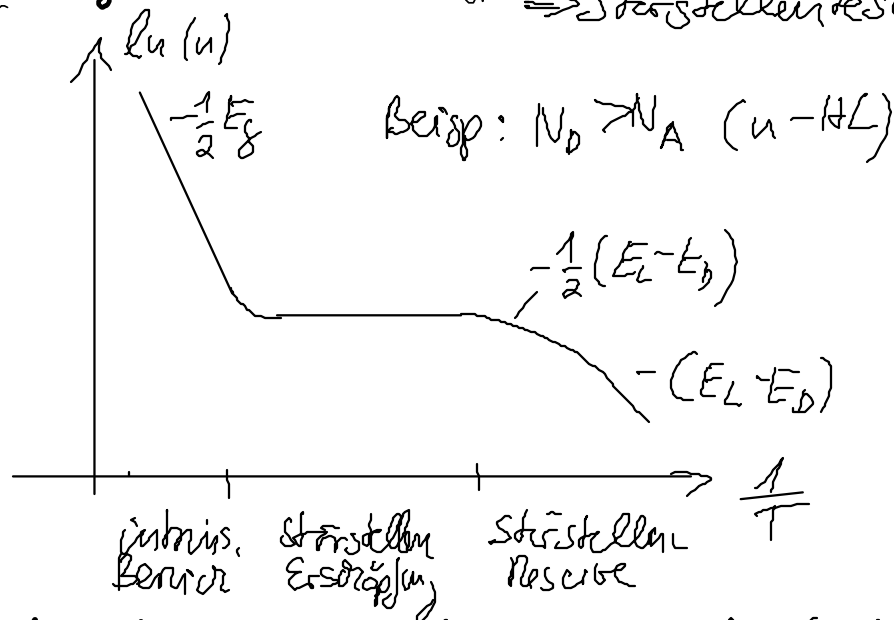
$$N_A < N_D : p \approx N_A - N_D \quad n \approx \frac{n_i^2}{N_A - N_D} \quad (p\text{-HL})$$

Majoritatstrager Minoritatstrager

Falls $n_i \ll |N_D - N_A|$: μ wacht viele Faktoren ab
 μ liegt im Bereich von E_D oder E_A

• Donatoren und Akzeptoren nicht mehr vollst. ionisiert

Messung z.B. mit Hall-Effekt \Rightarrow Stoststellenresistenz



Leitfahigkeit $\sigma = e(n\mu_n + p\mu_p)$ (iostheres Medium)

Beweglichkeit $\mu = \frac{e}{m^* \tau}$, Nichtkollisions-HL = $E_L - \mu \Rightarrow \tau \sim T$

$\mu \sim \tau$, $\frac{1}{\tau} \sim$ Streuwahrscheinlichkeit $\propto \langle v \rangle$ (bei Metallen $v = v_F = \text{const}$)

MB-Statistik: $\langle v \rangle \sim \sqrt{T}$

Skuprozene: ① Gitterschwingungen $T \gg \Theta_D$, $\Sigma \sim \langle n p \mu \rangle \sim T$

$$\Rightarrow \frac{1}{\tau_{ph}} \sim \sqrt{T} \cdot T \sim T^{\frac{3}{2}} \Rightarrow \mu \sim T^{-\frac{3}{2}}$$

② geladene Stoststellen (u. Rutherford): $\Sigma_{st} \sim N_{st} \cdot \langle v \rangle^{-4} \Rightarrow \frac{1}{\tau_{ph}} \sim \sqrt{T} T^{-2}$

$$\Rightarrow \mu \sim T^{\frac{3}{2}}$$